

Original Article

Wet electrospinning of 3D nanofiber poly(lactic) acid scaffolds for tissue engineering applications: Fabrication and characterization

Sadegh Ghorbani^{1*}, Taghi Tiraihi^{2*}, Masoud Soleimani³, Shahram Pour Beiranvand¹

1- M.Sc., Department of Anatomical Sciences, Faculty of Medical Sciences, Tarbiat Modares University, Tehran, Iran

2- Professor, Department of Anatomical Sciences, Faculty of Medical Sciences, Tarbiat Modares University, Tehran, Iran

3- Associated Professor, Department of Hematology, Faculty of Medical Sciences, Tarbiat Modares University, Tehran, Iran

**Corresponding Address: Postal Code: 1411713116, Department of Anatomical Sciences, Faculty of Medical Sciences, Tarbiat Modares University, Tehran, Iran
Email: Takialtr@modares.ac.ir*

Received: 15/Oct/2017, Accepted: 11/Jun/2017

Abstract

Objective: Tissue engineering, as an interdisciplinary field, assists cell therapy by using scaffolds, cells, and growth factors since 30 years ago. Cells isolated from the body should be supported by a scaffold which could mimic the function and structure of natural extracellular matrix (ECM). To accomplish this goal, we have fabricated and characterized synthetic wet electrospun poly(lactic) acid (PLA) scaffolds.

Methods: The PLA polymer was used at various concentrations (10%, 13%, 15%, 17%, 20% w/v) with a novel architecture produced by a wet-electrospinning process for tissue engineering applications. In the wet electrospinning method, we used an aqueous solution of sodium hydroxide (NaOH) as the coagulation bath. Then, we characterized the biocompatibility and morphology of these scaffolds by the MTT assay and SEM, respectively.

Results: The data collected from the characterization of scaffolds and in vitro human Wharton's jelly-derived stem cells/scaffold culture showed that the 15% w/v of PLA with high porosity was the best polymer concentration in terms of cell attachment and proliferation.

Conclusion: Electrospinning PLA at the 10% or 20% w/v concentrations was difficult. Additionally, they could not provide a favorable matrix for cell proliferation and attachment. However, the results have suggested that the novel nanofiber fabrication system would be very useful for the structure control of 3D nanofiber fabrics.

Keywords: Scaffolds, Poly(lactic) acid, Tissue engineering, Wet electrospinning

Pathobiology Research, Vol. 20 (2017), No.2, Pages: 49-61

الکتروریسی مرطوب داربست‌های نانوفیبری سه بعدی پلی لاكتیک اسید برای کاربردهای مهندسی بافت: ساخت و مشخصه‌یابی (PLA)

صادق قربانی^۱، تقی طریحی^{۲*}، مسعود سلیمانی^۳، شهرام پور بیرانوند^۱

۱- کارشناس ارشد، گروه علوم تشریح، دانشکده علوم پزشکی، دانشگاه تربیت مدرس، تهران، ایران

۲- استاد، گروه علوم تشریح، دانشکده علوم پزشکی، دانشگاه تربیت مدرس، تهران، ایران

۳- دانشیار، گروه هماتولوژی، دانشکده علوم پزشکی، دانشگاه تربیت مدرس، تهران، ایران

*آدرس نویسنده مسئول: ایران، تهران، کدپستی: ۱۴۱۱۷۱۳۱۶، دانشگاه تربیت مدرس، دانشکده علوم پزشکی، گروه علوم تشریح

Email: Takialtr@modares.ac.ir

پذیرش مقاله: ۹۶/۰۳/۲۱

دریافت مقاله: ۹۵/۰۷/۲۳

چکیده

هدف: مهندسی بافت حدود ۳۰ سال است که با استفاده و ترکیب داربست‌ها، سلول‌های سالم و عوامل رشد به کمک سلول درمانی آمده است. ساخت داربست‌های زیست سازگار و زیست تجزیه‌پذیر شیشه به ماتریکس طبیعی بدین از اساسی ترین بخش‌های آن است. در این مطالعه با استفاده از روش الکتروریسی مرطوب، داربست‌های صناعی پلی لاكتیک اسید با ساختار سه بعدی، ساخته و ارزیابی شد.

مواد و روش‌ها: فیبرهای پلی لاكتیک اسید در غلظت‌های ۱۰، ۱۳، ۱۵، ۲۰ درصد حجمی/وزنی، با روش الکتروریسی مرطوب، داخل حمام انعقادی حاوی آب مقطر دیونیزه/سدیم هیدروکساید وارد شد و داربست‌ها شکل گرفتند. سپس آزمون‌های میکروسکوپ الکترونی روبشی، MTT، میزان زیست تخریب‌پذیری و میزان تخلخل آن‌ها انجام شد.

نتایج: نتایج به دست آمده از تعامل داربست و سلول‌های مزانتشیمی ژله وارتون انسانی در عکس‌های میکروسکوپ الکترونی روبشی نشان داد که خود فیبرهای نیز، دارای تخلخل‌های بسیار زیادی در اندازه نانو هستند که علت آن، حضور مولکول‌های آب و سدیم هیدروکساید در بین مولکول‌های فیبرهای ریسیده شده است. این تخلخل‌های زیاد در داخل و بین فیبرها، باعث افزایش خصوصیت چسبندگی و رشد سلول‌ها به داربست شد.

نتیجه‌گیری: نتایج این پژوهش نشان داد که داربست‌های تولید شده در غلظت ۱۰ درصد حجمی/وزنی و پایین‌تر از آن و ۲۰ درصد حجمی/وزنی و بالاتر از آن، علاوه بر دشواری در مراحل ریسندگی آن‌ها، خواص شیمیایی و مکانیکی مناسبی را برای چسبندگی سلول و تکثیر آن‌ها ندارند و بهترین غلظت از پلیمر پلی لاكتیک اسید برای تولید داربست‌های سه بعدی به روش الکتروریسی مرطوب، ۱۵ درصد حجمی/وزنی است. بررسی نتایج نشان داد که سیستم جدید الکتروریسی مرطوب می‌تواند برای کنترل ساختار نانوفیبرها در داربست‌های سه بعدی بسیار مفید باشد.

کلیدواژگان: داربست‌های زیستی، پلی لاكتیک اسید، مهندسی بافت، الکتروریسی مرطوب

پژوهش‌های آسیب شناسی زیستی، دوره ۲۰، شماره ۲، تابستان ۱۳۹۶، صفحات: ۴۹-۶۱

مقدمه

مهندسی بافت حیطه‌ای چند رشته‌ای است که با تلفیق علوم زیستی، پزشکی، مهندسی و علوم بالینی قصد بر حفظ حالت پایدار بافت‌ها یا بهتر کردن عملکرد بافت هدف یا جایگزین کردن عملکرد زیستی بافت/عضو را دارد [۱-۳]. این علم از زمان‌های دور، حتی قبل از تعریف رسمی آن، کاربرد داشته است. به عنوان مثال در رُم باستان از دندان‌های مصنوعی برای درمان دندان‌های آسیب دیده استفاده می‌کردند یا در هندوستان قدیم از پیوندهای پوستی برای درمان آسیب‌دیدگی‌ها استفاده می‌نمودند. در اوخر دهه ۱۹۸۰ اعلان سازمان غذا و دارو در مجاز دانستن استفاده از داروی سیکلوسپورین (Cyclosporine) (سال ۱۹۸۳) به منظور جلوگیری از پس زدن پیوندها، موضوع پیوند عضو به صورت ناگهانی افزایش پیدا کرد [۴]. کمبود بافت‌های اهدایی در دسترس، هزینه‌بر بودن آن‌ها، مشکل بودن روش‌ها و مراقبت‌های پیچیده از بافت یا عضو پیوند زده شده موجب شد تا در سال ۱۹۸۵ اصطلاح رسمی مهندسی بافت به شکل امروزی توسط دکتر فونگ (Fung) مطرح شود و از سال ۱۹۸۷ به طور رسمی تحقیقات در این حیطه آغاز شد [۵]. سه جزء کلیدی در مهندسی بافت وجود دارد که عبارتند از: ۱- استفاده از سلول‌های جدا شده سالم به منظور حفظ عملکردهای مناسب بافت یا سلول‌های آسیب دیده، ۲- استفاده از موادی مانند عوامل رشد یا عوامل دیگر مورد نیاز سلول به منظور تولید و ایجاد بافت‌های مورد نیاز، ۳- رشد سلول‌ها روی داریست‌های ۳ بعدی [۶].

هنگامی که آسیب ایجاد شده به یک بافت یا عضو کوچک باشد، می‌توان آن نقص را با استفاده از سلول‌های جدا شده و عوامل مؤثر بر رشد و تمایز آن‌ها، ترمیم کرد. اما برای مهندسی بافت‌ها در مقیاس بزرگ‌تر، این دو راهبرد به خاطر این‌که سلول‌ها اغلب در داخل ساختارهای مصنوعی هم به صورت درون‌تنی و هم برون‌تنی کاشت یا جای داده می‌شوند تا قادر به تقلید و حمایت از ساختار بافت سه بعدی باشند، به تنهایی

الکتروریسی سه بعدی

کاربرد ندارند. بنابراین نقش داریست‌ها در این میان، حیاتی است. داریست‌ها باعث هدایت سلول‌ها به سمت رشد، تکثیر، تمایز و ساخت ماتریکس سلولی طبیعی می‌شوند تا شکل گیری بافت‌های مورد نیاز و کاربردی تسهیل شود [۷]. این داریست‌های زیستی باید متخلخل، زیست سازگار، زیست تخریب‌پذیر باشند. همچنین باید با سلول‌ها به صورت مثبتی واکنش داشته باشند، یعنی باعث چسبندگی سلول‌ها به آن‌ها و رشد، مهاجرت و تمایز سلول‌ها و حفظ عملکرد مناسب آن‌ها شوند [۸].

داریست‌های مورد استفاده در مهندسی بافت از نظر منشأ مواد تشکیل دهنده آن‌ها به دو دسته کلی طبیعی و مصنوعی تقسیم می‌شوند [۹]. پلی لاتیک اسید (PLA) یک نوع پلیمر مصنوعی است که به علت خاصیت مکانیکی و کشسانی ایده‌آل آن، در ترمیم استخوان‌ها، سیستم رهایش دارو، زخم پوش‌ها و کاربردهای پزشکی دیگر استفاده می‌شود [۱۰]. زیست تخریب‌پذیری این پلیمر که یکی از شاخه‌های مهم آن است، در دمای اتاق حدود ۶۰ روز به طول می‌انجامد اما در بدن موجود زنده و تحت تأثیر آنزیم‌های تولید شده از بدن جاندار، این زمان به نصف کاهش می‌یابد [۱۱].

یک داریست ایده‌آل در مهندسی بافت، خصوصیات بیوشیمیابی بافت هدف را دارد و با فراهم نمودن چسبندگی سلولی، رشد، مهاجرت، تمایز و پایداری فنوتیپ هم برای سلول‌های درون‌زا و هم سلول‌های پیوندی، نقش میزان را ایفا می‌کند. ظهور نانو فناوری امکانات فراوانی را برای تولید شرایط مشابه ریزمحیط طبیعی سلول‌ها فراهم نموده است. داریست‌های نانو فیبری برای چنین هدفی بسیار مناسب است، چون بعادي مشابه اجزای ماتریکس خارج سلولی دارد و از ساختمان فیبری آن‌ها تقلید می‌کند، بنابراین برای سازمان‌یابی، حیات و عملکرد سلولی مناسب است. داریست‌های نانو فیبری در عین حال که ذاتاً متخلخل است و نسبت سطح به حجم بالایی دارد، دارای خصوصیات توپوگرافی (Topographic characteristics) بسیار متنوعی نیز هست که مشوق

آماده سازی محلول الکتروریسی

ابتدا، ۱۰، ۱۳، ۱۵، ۱۷، ۲۰ درصد حجمی/ وزنی از پودر PLA را به همراه حلال کلروفورم داخل بشر ریخته و روی همزن مغناطیسی (Stirrer) با سرعت ۶۰۰ دور در دقیقه به مدت ۸ ساعت قرار داده شد تا محلول شفاف و همگن شد. به منظور ساخت داربست‌های بهینه فیری PLA، از محلول‌های آماده شده در سرنگ ۱۰ سی سی ریخته شد و داخل پمپ سرنگ قرار داده شد. در این مطالعه از یک حمام انعقادی pH=۱۳ حاوی آب مقطر/ سدیم هیدروکساید (NaOH) با متصل به سیم نول [زمین(Earth)] منبع تغذیه، به جای صفحه جمع کننده استفاده شد [۱۷].

الکتروریسی داربست‌ها در دمای اتاق، بر اساس پارامترهای بهینه انجام شد: سرعت پمپ تزریق: ۳/۴ میلی لیتر در دقیقه - ولتاژ اعمال شده: ۱۸ کیلو ولت - فاصله بین نوک سوزن و حمام انعقادی: ۱۲ سانتی متر در نظر گرفته شد.

پس از اتمام مرحله الکتروریسی، داربست‌ها از حمام انعقادی خارج شد و پس از خشک شدن کامل آن، به مدت یک شبانه روز در دمای ۴ درجه سانتی گراد زیر صفر قرار داده شد.

مشخصه‌یابی داربست‌ها

تهیه تصاویر میکروسکوپ رویشی

داربست‌ها در تکه‌های کوچک 10×10 میلی‌متری بریده شدند و توسط چسب کریستالی روی نگهدارنده نمونه در Scanning Electron Microscope: میکروسکوپ رویشی (SEM Seron Technology AIS2100) چسبانده شدند. پس از ۳ دقیقه پوشش دهی با طلا (به ضخامت ۳۶ نانومتر) توسط دستگاه پوشش دهنده طلا، ریخت‌شناصی داربست‌ها با دستگاه میکروسکوپ الکترونی رویشی بررسی شد.

تخمین میزان درصد تخلخل داربست‌ها

زیست موادهای متخلف در کاربردهای مانند داربست‌های مهندسی یافت، سیستم‌های رهایش کنترل شده دارو، غشاهاي

چسبندگی و تکثیر سلولی است. علاوه براین؛ تنوع ساختارها در داربست‌ها عملکرد سلولی را تحت تأثیر قرار می‌دهد [۱۲]. نانوفیرهای پلیمری با روش‌های متفاوتی مثل کشیدن (Template Synthesis)، ساخت الگو (Drawing)، جداسازی فازی، خودآرایی و الکتروریسی ساخته می‌شود. با توسعه نانوفیرها امکان ساخت داربست‌هایی فراهم شده است که به طور بالقوه می‌تواند عمارتی بافت طبیعی انسان در مقیاس نانو را تقلید کند. نسبت بالای سطح به حجم نانوفیرها به همراه ساختمان میکرو متخلف آن‌ها چسبندگی، تکثیر، مهاجرت و تمایز را که از ویژگی‌های مطلوب کاربرد مهندسی بافت هست را فراهم می‌کند. در دهه گذشته سیستم‌های نانوفیری به عنوان داربست‌های بالقوه برای مهندسی بافت مورد توسعه و تحقیق قرار گرفته است [۱۳، ۱۴].

روش الکتروریسی (Electrospinning) اولین بار حدود ۷۰ سال پیش طراحی شد اما طی ۱۰ سال اخیر به علت آسان و ارزان بودن آن کاربرد بسیاری پیدا کرده است. در این روش فیرهایی با قطر ۳ نانومتر تا ۵ میکرومتر و با طولی به درازای چند کیلومتر نیز قابلیت تولید دارد. در این روش هم داربست‌های تک پلیمری و هم کامپوزیتی (Composite scaffolds) ساخته شده‌است اما طراحی ساختار منافذ به صورت سه بعدی در این روش بسیار مشکل است. برای حل این موضوع روش جدید الکتروریسی مرطوب (Wet electrospinning) برای ساخت ساختارهای سه بعدی کترول شده از نانوفیر با ترکیب الکتروریسی و سیستم مرطوب به کار گرفته شد [۱۵]. از مزایای این روش می‌توان به کم هزینه بودن و آسان بودن آن به همراه تولید داربست‌های متخلف سه بعدی بسیار خوب، اشاره نمود [۱۶].

مواد و روش‌ها

این مطالعه طی نامه‌ای به شماره ۸۵۵/۵۲ در تاریخ ۹۵/۰۲/۱۲ به تأیید کمیته اخلاق پژوهشی دانشگاه تربیت مدرس رسیده است.

پژوهش‌های آسیب شناسی زیستی، دوره ۲۰، شماره ۲، تابستان ۱۳۹۶

الکتروریسی سه بعدی

شد. سپس به مدت ۳۰ دقیقه در معرض اشعه ماورای بنسن قرار گرفت و سپس داربستها به پلیت و ظروف کشته مورد نظر در شرایط استریل انتقال داده شد [۲۱-۲۳].

ارزیابی میزان بقای سلول‌های بنیادی مزانشیمی ژله وارتون انسانی روی داربست‌ها با روش

MTT

اساس ۳-(4,5-dimethylthiazol-2-yl)-2,5-] MTT کریستال‌های زرد رنگ تترازولیوم (Tetrazolium) به وسیله آنزیم سوکسینات دهیدروژناز (Succinate dehydrogenase) و تشکیل کریستال‌های آبی رنگ و نامحلول فورمازان (Formazan) است. سوکسینات دهیدروژناز از آنزیم‌های چرخه تنفسی میتوکندریایی است، بنابراین رنگ تولید شده، معرف میزان فعالیت این آنزیم است که به نوبه خود نشان دهنده زندگی بودن سلول به دلیل دارا بودن میتوکندری فعال است. ابتدا داربست‌های مورد نظر به صورت دیسک‌های ۶ میلی‌متری بریده و استریل شد. سپس در کف پلیت‌های ۹۶ خانه قرار گرفت و روی آن‌ها ۵۰۰۰ سلول بنیادی مزانشیمی Human wharton's jelly ژله وارتون انسانی (mesenchymal stem cells) پاساژ ۴ (تهیه شده از مرکز تحقیقاتی سلولی بنیاده، تهران) به مدت ۱، ۳ و ۷ روز کشت داده شد. سپس محلول استوک MTT-10X با غلظت ۵ میلی‌گرم/میلی‌لیتر در محیط کشت Roswell Park RPMI Phenol (Memorial Institute medium red) تهیه شد، در زمان‌های مقرر، محیط کشت داربست‌ها برداشته شد، ۱۵۰ میکرولیتر از محلول MTT آماده به کار، روی داربست‌ها ریخته شد و به مدت ۴ ساعت انکوبه شد. پس از آن، محلول MTT از روی داربست‌ها برداشته شد و ۱۰۰ میکرولیتر DMSO (Dimethyl sulfoxide) روی آن‌ها ریخته شد، و بعد از ایجاد کریستال‌های بنفش رنگ در کمتر از ۱۰ دقیقه میزان جذب نور توسط دستگاه قرائت‌گر الایرا

دیالیزی و فیلترهای دستگاه‌های اکسیژن رسان و بسیاری از موارد دیگر دارای اهمیت است. برای اندازه‌گیری میزان تخلخل داربست‌ها، از روش جابه‌جایی مایع (Liquid displacement) استفاده شد. ابتدا داربست‌ها با وزن یکسان به اندازه‌های ۳×۳ سانتی‌متر بریده شد. سپس به مدت ۱۲۰ دقیقه داخل اتانول ۹۶ درصد قرار داده شد و میزان تخلخل داربست‌ها پس از آن طبق فرمول زیر محاسبه شد [۱۸، ۱۹]. در این فرمول V_0 حجم اتانول اولیه و V_1 حجم اتانول به اضافه داربست و V_3 حجم اتانول ثانویه پس از خروج داربست از داخل ظرف است.

$$\frac{V_1 - V_3}{V_2 - V_3} \times 100 = \text{تخلخل (درصد)}$$

اندازه‌گیری میزان تخریب پذیری داربست‌ها

برای اندازه‌گیری میزان تخریب پذیری داربست‌های ساخته شده با پلیمر PLA در غلظت‌های گوناگون، ابتدا داربست‌ها در ۱۰ FBS درصد/ ۹۰ DMEM (Dulbecco's Modified Eagle's Medium) قرار داده شد و محیط آن هر سه روز تعویض شد [۲۰]. برای اندازه‌گیری وزن داربست‌ها، بعد از خشک شدن کامل آن‌ها در شرایط خلا، از ترازوی دیجیتال آزمایشگاهی استفاده شد. میزان تغییرات وزن داربست‌ها در روزهای ۷، ۱۴ و ۲۱ با فرمول زیر اندازه‌گیری شد که در این فرمول W_0 وزن نمونه خشک اولیه و W_1 وزن نمونه خشک ثانویه بعد از خارج نمودن نمونه از محیط کشت است.

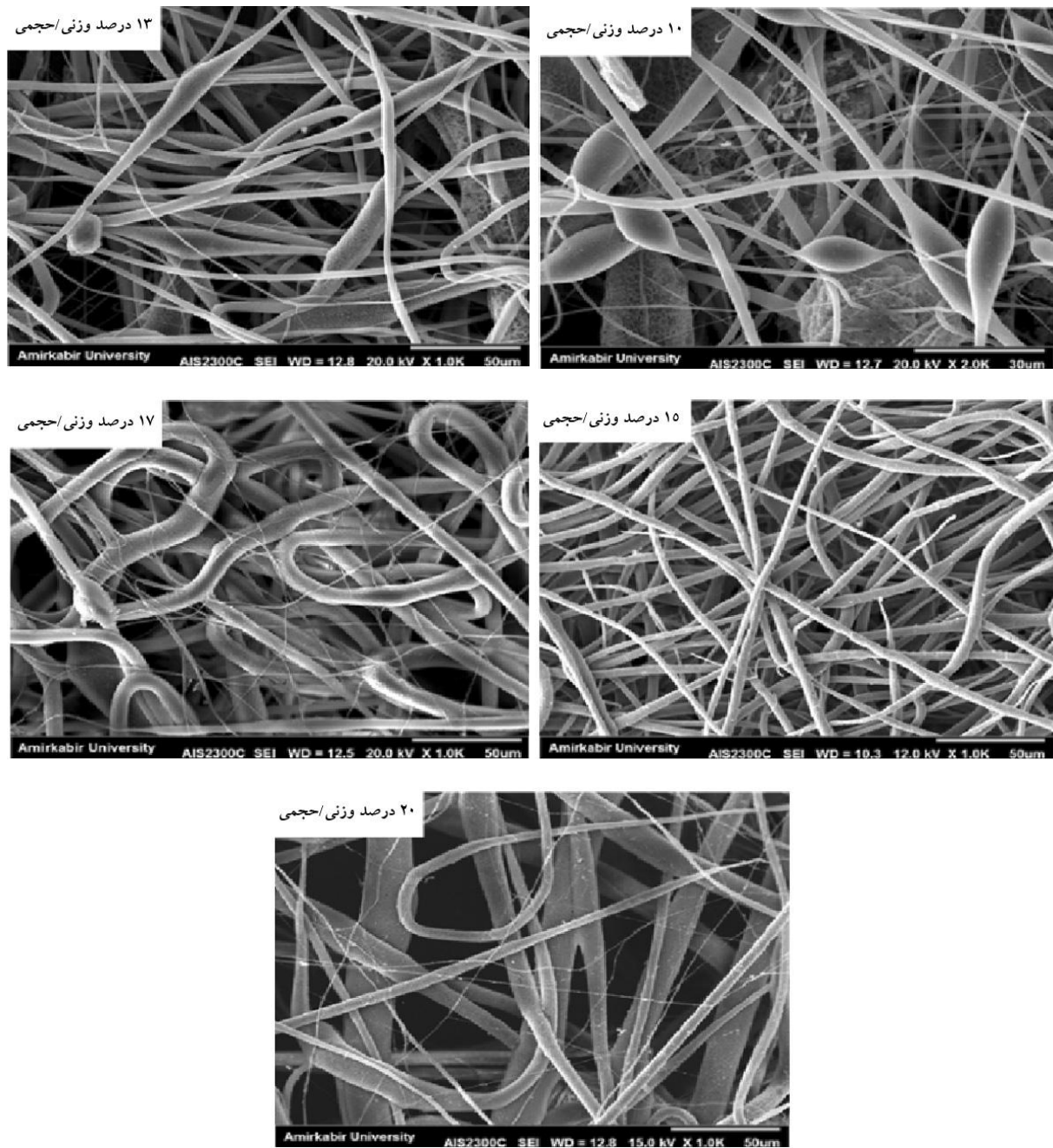
$$\frac{W_0 - W_1}{W_0} \times 100 = \text{کاهش وزن (درصد)}$$

استریل نمودن داربست‌ها

برای استریل نمودن داربست‌ها، ابتدا در زیر هود داخل یک پلیت ۶ سانتی‌متری استریل قرار داده شد. در مرحله بعد، توسط اتانول ۷۰ درصد در سه نوبت و هر بار ۳۰ دقیقه شستشو داده

اساس میانگین جذب نور داریست‌ها محاسبه و نمودار آن رسم شد.

Biochrom Anthos 2020 (ELISA Reader) در طول موج ۵۷۰ نانومتر بررسی شد. میزان رشد سلول‌ها بر



شکل ۱ تصاویر SEM از داریست‌های الکتروریسی شده PLA به روش الکتروریسی مرتبط در غلظت‌های مختلف

نتایج

ریخت‌شناسی داربست‌ها

ریخت‌شناسی داربست‌های ساخته شده با پلیمر PLA خالص با روش الکتروریسی مربوط وسیله تصاویر SEM به دست آمد.

همان‌طور که در شکل ۱ مشاهده می‌شود، الکتروریسی PLA خالص در غلظت‌های مختلف، تفاوت‌هایی در اندازه فیبرها، میزان مهره‌ها و همچنین تخلخل آن‌ها دارند. همان‌طوری که مشاهده شد، داربست‌های PLA با غلظت حجمی/وزنی ۱۰ فیبرهای خوبی نداشتند و دارای مهره‌های بیشماری در ساختار میکروسکوپی خودشان بودند. همچنین با توجه به تصاویر به دست آمده مشخص شد که با افزایش غلظت پلیمر، اندازه قطر فیبرهای آن‌ها بزرگ‌تر



شکل ۲ تصویر SEM از چسبندگی سلول مزانشیمی ژله وارتون بر داربست PLA الکتروریسی شده در غلظت ۱۵ درصد حجمی/وزنی

حجمی/وزنی به ۲۰ درصد حجمی/وزنی همراه با افزایش قطر الیاف، درصد تخلخل نسبتاً کاهش پیدا کرد که دلیل این کاهش را می‌توان در ارتباط با افزایش قطر الیاف و وجود مهره در الیاف دانست. طبق اطلاعات جدول ۱، غلظت ۱۵ درصد حجمی/وزنی از پلیمر PLA برای ساخت داربست‌های الکتروریسی شده، براساس میزان تخلخل آن‌ها، بهترین غلظت

درصد تخلخل داربست‌ها

بر طبق اطلاعات به دست آمده از این آزمون و مطابقت با تصاویر SEM، مشخص شد با افزایش غلظت پلیمر از ۱۰ درصد حجمی/وزنی به ۱۵ درصد حجمی/وزنی، درصد تخلخل داربست‌های فیبری افزایش و اندازه فیبرها کاهش پیدا کرده است اما با افزایش غلظت از ۱۵ درصد

است و نسبت به بقیه گروه‌ها تفاوت معنی‌داری داشت ($P<0.05$).

جدول ۱ میزان تخلخل داربست‌های PLA با روش Liquid displacement

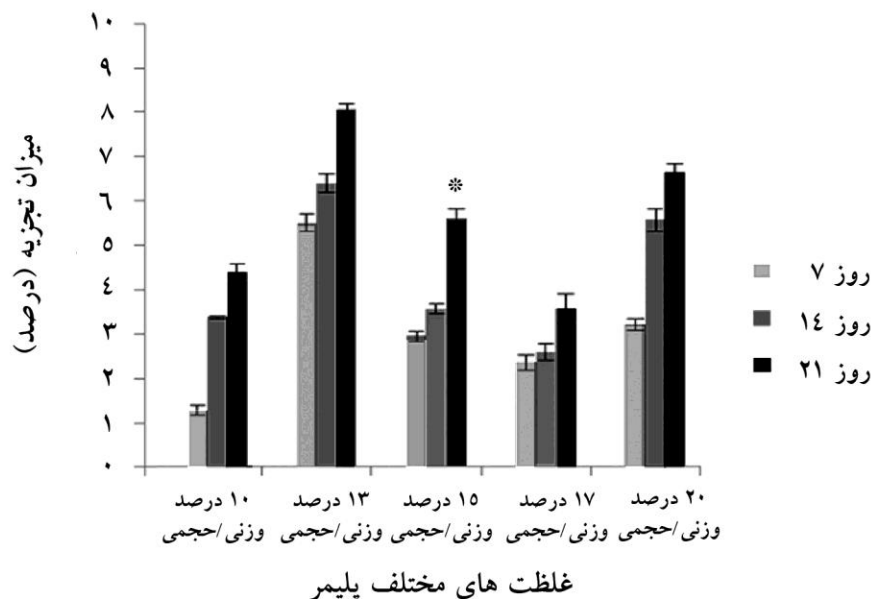
درصد تخلخل به روش جابه جایی مایع	غلظت کلی محلول (درصد وزنی)
۱۰/۰	۴۹/۴±۱/۸
۱۳/۰	۷۹/۳±۳/۲
۱۵/۰	۸۷/۲±۲/۴
۱۷/۰	۷۴/۲±۱/۷
۲۰/۰	۶۹/۴±۲/۶

(SE ± میانگین داده‌ها) میزان تخلخل داربست‌های ساخته شده با روش الکتروریسی مرتبط؛ ($P<0.05$)

دارای مهره‌های متعدد، سریع‌تر است. از آنجایی که داربست ایده‌آل برای کاربردهای مهندسی بافت، داربستی است که میزان تخریب آن در بدن جاندار با میزان ساخته شدن ماتریکس خارج سلولی طبیعی بافت مورد نظر در تناسب باشد، پیش‌بینی بر آن است که طبق نتایج حاصل شده از آزمایش‌های دیگر، داربست ساخته شده با غلظت ۱۵ درصد حجمی/وزنی با روش الکتروریسی مرتبط، بهترین گزینه بین نمونه‌های دیگر باشد.

اندازه‌گیری میزان تخریب (Weight Loss) داربست‌ها

طبق نتایج به‌دست آمده از این آزمایش که در شکل ۳ نمایش داده شده است، معلوم شد در داربست‌هایی که دارای فیبرهای منظم و یکنواخت و در اندازه‌های نانو است میزان سرعت تخریب نسبت به داربست‌های با فیبرهای میکرونی و



شکل ۳ نتایج حاصل از میزان درصد تخریب داربست‌های PLA الکتروریسی شده در غلظت‌های مختلف؛ غلظت ۱۵ درصد حجمی/وزنی (**) تفاوت معنی‌داری با دیگر غلظت‌های این گروه دارد ($P<0.05$) (میانگین داده‌ها).

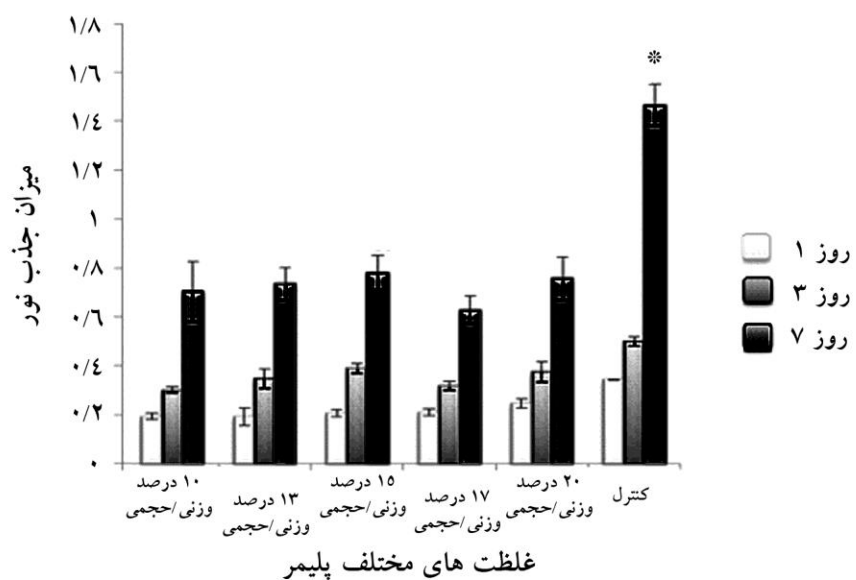
الکتروریسی سه بعدی

معنی دار نبود. همچنین، طبق اطلاعات حاصل شده از این آزمون، رشد و بقای سلول‌ها در محیط دو بعدی فاقد داربست طی روزهای مورد مطالعه، نسبت به گروههای حاوی داربست‌های PLA به صورت معنی‌داری بیشتر بود ($P < 0.05$). علت این امر، به خاطر صناعی بودن پلیمر پلی‌لакتیک اسید و خاصیت آب‌گیریزی زیادی آن است که باعث می‌شود سلول‌ها به خوبی به آن اتصال پیدا نکنند و همچنین در اثر تجزیه این پلیمر و اسیدی شدن محیط کشت سلول، از میزان رشد و بقای سلول کاسته شود. نتیجه کلی از این آزمون منطبق با آزمون‌های دیگر نشان داد که بهترین غلظت برای ساخت داربست‌های فیری PLA با روش الکتروریسی مرطوب، ۱۵ درصد حجمی/وزنی است.

بررسی بقای سلول‌های مزانشیمی ژله وارتون

بر روی داربست‌های MTT با PLA

برای بررسی اثر سمیت داربست‌ها روی سلول‌های مزانشیمی ژله وارتون، این سلول‌ها به مدت ۱، ۳ و ۷ روز روی داربست‌های استریل PLA الکتروریسی شده در غلظت‌های گوناگون کشت داده شدند. سپس با کمک آزمون MTT، میزان بقای سلول‌ها ارزیابی شدند. نتایج به دست آمده طبق شکل ۴ نشان داد، سلول‌های بنیادی مزانشیمی ژله وارتون روی داربست‌های ساخته شده به خوبی رشد نموده‌اند. در داربست‌های با غلظت ۱۵ درصد حجمی/وزنی از پلیمر PLA، بقا و رشد این سلول‌ها طی روزهای ۱، ۳ و ۷ نسبت به گروههای دیگر بیشتر بود، اما این اختلاف



شکل ۳ بررسی کمی میزان اثر سمیت داربست PLA در غلظت‌های مختلف بر بقای سلول‌های مزانشیمی ژله وارتون انسانی در روزهای ۱، ۳ و ۷ بعد از کشت، با روش MTT؛ میزان بقای سلول‌های مزانشیمی ژله وارتون در روز ۷ نسبت به روزهای ۱ و ۳ بیشتر بوده است ولی در مقایسه با گروه کنترل (*) به طور معنی‌داری کمتر بوده است ($P < 0.05$). در بین انواع درصدهای PLA، غلظت ۱۵ درصد حجمی/وزنی نسبت به غلظت‌های دیگر بهتر بود اما این اختلاف معنی‌دار نبود. (میانگین داده‌ها \pm SE)

بحث

یکی از عوامل مهم در بحث مهندسی بافت، ایجاد یک

محیط سه بعدی برای رشد و تمایز سلول‌ها، بر اساس فراساختار بافت مورد نظر است. برای رشد سلول‌ها در یک محیط سه

می توان به کم هزینه بودن و آسان بودن آن به همراه تولید داربست های متخلخل سه بعدی بسیار خوب، اشاره نمود. وان (Wan) و همکاران در سال ۲۰۰۸ به بررسی دی - ال - لاتکیک اسید پیوند زده شده روی کیتوزان برای ساخت داربست [poly(chitosan-g-DL-lactic acid)] PCLA کوپلیمری به وسیله روش الکتروریسی مرطوب پرداختند. داربست های از جنس PCLA با فیبرهای به اندازه میکرومتر و نانومتر با این روش ساخته شد. داربست های تشکیل شده منافذی با اندازه های ۱ میکرومتر تا ۳۰ میکرومتر از خود نشان دادند و میزان تخلخل این نوع داربست ها در غاظت های مختلف PCLA و مواد تشکیل دهنده حمام انعقادی، متفاوت بود که حداقل تا ۸۰ درصد تخلخل در این نوع داربست ها دیده شد. در نهایت داده های جمع آوری شده در آزمایشگاه از سلول های فیبروبلاست خرگوش و داربست های تولید شده نشان داد که تفاوت اساسی در قابلیت زیستی، چگالی و توزیع فیبروبلاست های ساخته شده بین داربست های فیبری PCLA و داربست های فیبری کیتوزان خالص وجود ندارد [۲۹]. بعد از آن یوکویاما (Yokoyama) و همکاران در سال ۲۰۰۹ به وسیله ترکیب دو روش الکتروریسی و الکتروریسی مرطوب و استفاده از روش ارزان و کارآمد الکتروریسی مرطوب، داربست های اسفنجی سه بعدی از پلیمر [Poly (glycolic acid): PGA] با چگالی کترول شده ساختند که در مقایسه با PGA های ساخته شده با روش الکتروریسندگی خشک دارای چگالی کمتر و تخلخل بیشتر بود [۱۵]. نتایج حاصل از مطالعه حاضر بر اساس مطالعات سایر محققین، نشان داد که تولید داربست های سه بعدی PLA ساخته شده با روش الکتروریسی مرطوب دارای تخلخل بالای ۸۰ درصد و دارای چگالی کم است. در این روش نیز که تا حدودی مانند روش الکتروریسی خشک است، به جای صفحه جمع کننده از یک حمام انعقادی حاوی محلول ضد انفعاد استفاده می شود. محلول پلیمری آماده شده بعد از تنظیمات دستگاه، به صورت فیبرهای در حد نانو به داخل حمام انعقادی وارد می شوند و به صورت لایه به لایه بر روی هم قرار می گیرند.

بعدی شبیه به ماتریکس خارج سلولی طبیعی بدن، از داربست های زیست سازگار استفاده می شود [۲۴]. روش های متعددی برای تولید این داربست ها وجود دارد که از جمله آن ها می توان به فاقد سلول نمودن بافت های انسان و موجودات دیگر، یا ساخت آن ها توسط روش های مهندسی شده اشاره نمود. تاکنون تحقیقات بیشماری برای طراحی و تولید یک بستر مناسب شبیه به ماتریکس خارج سلولی طبیعی بافت های مختلف بدن انجام شده است. یکی از اجزای مشترک در ماتریکس خارج سلولی بدن بین اکثر بافت ها، وجود الیاف کلاژنی و کلیکوپروتئینی و پروتئوگلیکانی در اندازه های نانو و میکرون است [۲۵]. این فیبرها باعث می شود که نسبت سطح به حجم افزایش یابد و سلول های به خوبی به آن ها متصل شوند.

برای تولید داربست های نانوفیبری روش های گوناگونی وجود دارد. الکتروریسی یکی از روش های آسان و کارآمد ساخت این داربست ها است که به صورت عملده در حال استفاده است. داربست هایی که با این روش تولید می شوند به علت داشتن فیبرهایی در حد نانو و نیز داشتن نسبت سطح به حجم زیاد، گزینه مناسبی به عنوان بستری جایگزین ماتریکس خارج سلولی طبیعی بدن در موارد مهندسی بافت است [۲۶]. از پلیمرهای طبیعی و مصنوعی مختلفی به منظور الکتروریسی داربست ها استفاده شده است [۲۷]. پارامترهای مختلفی از جمله؛ نرخ تعزیزی، میزان ولتاژ، غلظت محلول ها و نیز فاصله بین نوک نازل و صفحه جمع کننده بر میزان اندازه فیبرها و تخلخل داربست و کیفیت آن ها، در روش الکتروریسی مؤثر است [۲۸].

در روش الکتروریسی که از یک صفحه آلمینیومی (الکتروریسی خشک) به عنوان جمع کننده فیبرها استفاده می شود، داربست های ساخته شده به صورت ورقای دو بعدی هستند و تولید بستری سه بعدی با این روش به همراه تخلخل بالا دشوار است. برای ساخت داربست های زیست سازگار سه بعدی و با تخلخل بالا و چگالی پایین، در این مطالعه از روش جدید الکتروریسی مرطوب استفاده شد. از مزایای این روش

الکتروریسی سه بعدی

مشخص شد که در غلظت‌های کمتر از ۱۰ درصد حجمی/وزنی، پلیمرها به علت غلظت پایین به صورت ذره پاشیده می‌شد و در غلظت‌های بالاتر از ۲۰ درصد حجمی/وزنی؛ به علت لخته شدن پلیمر در نوک نازل، نمی‌توان داریست‌های فیری مناسبی را تولید نمود.

نتیجه‌ای که در این پژوهش به دست آمد، نشان داد که داریست‌های نانوفیری پلی لاکتیک اسید تولید شده با روش جدید الکتروریسی مربوط در محدود غلظتی مشخصی (۲۰-۱۰) درصد حجمی/وزنی) قابل الکتروریسی است. نتایج آزمون‌های انجام شده روی داریست‌های الکتروریشی شده با غلظت‌های مختلف و همچنین میزان رشد سلول‌های ژله وارتون انسانی بر این سلول‌ها نشان داد که بهترین غلظت از پلیمر PLA برای تولید این داریست‌های سه بعدی، ۱۵ درصد حجمی/وزنی است.

تشکر و قدردانی

این طرح با حمایت معاونت پژوهشی دانشکده پزشکی دانشگاه تربیت مدرس تهران، انجام شده است.

و داریستی سه بعدی را با ضخامت دلخواه و تخلخل بالا تولید می‌کنند. در این مطالعه، از یک پلیمر زیست سازگار و زیست تخریب‌پذیر مصنوعی بنام پلی لاکتیک اسید (PLA) به عنوان بستر اولیه استفاده شد. داریست‌های مورد نظر برای انتخاب غلظت بهینه، با غلظت‌های درصد حجمی/وزنی ۱۰، ۱۳، ۱۵، ۱۷، ۲۰ ساخته شد. آزمون‌های سلولی برای این داریست‌ها انجام و مشخص شد که بهترین غلظت برای ساخت این داریست‌ها در هر دو روش ۱۵ درصد حجمی/وزنی است که با نتایج مطالعات دیگر مطابقت داشت [۳۱، ۳۰].

نتیجه بسیار جالبی که در میان داریست‌های تولید شده با روش الکتروریسی مربوط مشاهده شد، میزان تخلخل بالا در مقایسه با روش الکتروریسی مرسوم بود. تخلخل در این نمونه داریست‌ها هم در بین فیرها و هم در داخل خود فیرها وجود داشت که این تخلخل بالا در داخل فیرها برای موارد مهندسی بافت و اتصال سلول‌ها و نیز رهایش دارو و هورمون‌ها بسیار اهمیت دارد که ساخت این چنین داریست‌هایی با تخلخل بالا و حالت ۳ بعدی آن‌ها با روش الکتروریسی مربوط تاکنون انجام نشده بود. طبق یافته‌های دیگری که از این مطالعه به دست آمد

منابع

- [1] Humes HD, Buffington D, Westover AJ, Roy S, Fissell W, editors. Principles of tissue engineering. British Elsevier Inc; 2013; p: 3-33.
- [2] Lavik E, Langer R. Tissue engineering: current state and perspectives. *Appl Microbiol Biotechnol* 2004; 65(1): 1-8.
- [3] Sharp LA. Organ transplantation as a transformative experience: anthropological insights into the restructuring of the self. *Med Anthropol Q* 1995; 9(3): 357-89.
- [4] Heineken FG, Skalak R. Tissue engineering: a brief overview. *J Biomech Eng* 1991; 113(2): 111-2.
- [5] Ma PX. Scaffolds for tissue fabrication. *Materials Today* 2004; 7(5): 30-40.
- [6] Cheung HY, Lau KT, Lu TP, Hui D. A critical review on polymer-based bio-engineered materials for scaffold development. *Composites Part B: Engineering* 2007; 38(3): 291-300.
- [7] Tsang VL, Bhatia SN. Three-dimensional tissue fabrication. *Adv Drug Deliv Rev* 2004; 56(11): 1635-47.
- [8] Lee KY, Mooney DJ. Alginate: properties and biomedical applications. *Prog Polym Sci* 2012; 37(1): 106-126.
- [9] Bhattacharai N, Li Z, Edmondson D, Zhang M.

- Alginate-based nanofibrous scaffolds: Structural, mechanical, and biological properties. *Advanced Materials* 2006; 18(11): 1463-7.
- [10] Rao RU, Suman K, Rao VK, Bhanukiran K. Study of rheological and mechanical properties of biodegradable polylactide and polycaprolactone blends. *International Journal of Engineering Science and Technology (IJEST)* 2011; 3(8): 6259-65.
- [11] Gui-Bo Y, You-Zhu Z, Shu-Dong W, De-Bing S, Zhi-Hui D, Wei-Guo F. Study of the electrospun PLA/silk fibroin-gelatin composite nanofibrous scaffold for tissue engineering. *J Biomed Mater Res A* 2010; 93(1): 158-63.
- [12] Ramakrishna S, Fujihara K, Teo WE, Lim TC, Ma Z. An introduction to electrospinning and nanofibers. Singapore: World Scientific, 2005; p: 24-42.
- [13] Nain AS, Amon C, Sitti M. Proximal probes based nanorobotic drawing of polymer micro/nanofibers. *IEEE Transactions on Nanotechnology* 2006; 5(5): 499-510.
- [14] Vasita R, Katti DS. Nanofibers and their applications in tissue engineering. *Int J Nanomedicine* 2006; 1(1): 15-30.
- [15] Yokoyama Y, Hattori S, Yoshikawa C, Yasuda Y, Koyama H, Takato T, Kobayashi H. Novel wet electrospinning system for fabrication of spongiform nanofiber 3-dimensional fabric. *Materials Letters* 2009; 63(9-10): 754-6.
- [16] Kostakova E, Seps M, Pokorny P, Lukas D. Study of polycaprolactone wet electrospinning process. *eXPRESS Polymer Letters* 2014; 8(8): 554-64.
- [17] Naseri Nosar M, Salehi M, Ghorbani S, Pour Beiranvand S, Goodarzi A, Azami M. Characterization of wet-electrospun cellulose acetate based 3-dimensional scaffolds for skin tissue engineering applications: influence of cellulose acetate concentration. *Cellulose* 2016; 23(5): 3239-48.
- [18] Mohammadi Y, Mirzadeh H, Moztarzadeh F, Soleimani M, Jabbari E. Osteogenic differentiation of mesenchymal stem cells on novel three-dimensional poly(l-lactic acid)/chitosan/gelatin/b-tricalcium phosphate hybrid scaffolds. *Iranian Polymer Journal* 2007; 16(1): 57-69.
- [19] Ho ST, Hutmacher DW. A comparison of micro CT with other techniques used in the characterization of scaffolds. *Biomaterials* 2006; 27(8): 1362-76.
- [20] Jaklenec A, Hinckfuss A, Bilgen B, Ciombor DM, Aaron R, Mathiowitz E. Sequential release of bioactive IGF-I and TGF-beta 1 from PLGA microsphere-based scaffolds. *Biomaterials* 2008; 29(10): 1518-25.
- [21] Hiep NT, Lee BT. Electro-spinning of PLGA/PCL blends for tissue engineering and their biocompatibility. *J Mater Sci Mater Med* 2010; 21(6): 1969-78.
- [22] Dong Y, Liao S, Ngiam M, Chan CK, Ramakrishna S. Degradation behaviors of electrospun resorbable polyester nanofibers. *Tissue Eng Part B Rev* 2009; 15(3): 333-51.
- [23] Ma L, Gao C, Mao Z, Zhou J, Shen J, Hu X, Han C. Collagen/chitosan porous scaffolds with improved biostability for skin tissue engineering. *Biomaterials* 2003; 24(26): 4833-41.

الكتوریسی سہ بعدی

- [24] Srouji S, Kizhner T, Suss-Tobi E, Livne E, Zussman E. 3-D Nanofibrous electrospun multilayered construct is an alternative ECM mimicking scaffold. *J Mater Sci Mater Med* 2008; 19(3): 1249-55.
- [25] Li WJ, Laurencin CT, Caterson EJ, Tuan RS, Ko FK. Electrospun nanofibrous structure: a novel scaffold for tissue engineering. *J Biomed Mater Res* 2002; 60(4): 613-21.
- [26] O'brien FJ. Biomaterials & scaffolds for tissue engineering. *Materials Today* 2011; 14(3): 88-95.
- [27] Sell SA, Wolfe PS, Garg K, McCool JM, Rodriguez IA, Bowlin GL. The use of natural polymers in tissue engineering: a focus on electrospun extracellular matrix analogues. *Polymers* 2010; 2(4): 522-53.
- [28] Pham QP, Sharma U, Mikos AG. Electrospinning of polymeric nanofibers for tissue engineering applications: a review. *Tissue Eng* 2006; 12(5): 1197-211.
- [29] Wan Y, Cao X, Zhang S, Wang S, Wu Q. Fibrous poly(chitosan-g-DL-lactic acid) scaffolds prepared via electro-wet-spinning. *Acta Biomater* 2008; 4(4): 876-86.
- [30] Gómez-Pachón EY, Vera-Graziano R, Montiel Campos R, editors. Structure of poly (lactic-acid) PLA nanofibers scaffolds prepared by electrospinning. Inlop conference series: Material Science Engineering. IOP Publishing 2014; 59(1): 012003.
- [31] Lee JB, Jeong SI, Bae MS, Yang DH, Heo DN, Kim CH, Alsberg E, Kwon IK. Highly porous electrospun nanofibers enhanced by ultrasonication for improved cellular infiltration. *Tissue Eng Part A* 2011; 17(21-22): 2695-702.